

МИНИСТЕРСТВО ОБРАЗОВАНИЯ И НАУКИ РОССИЙСКОЙ ФЕДЕРАЦИИ  
ГОСУДАРСТВЕННОЕ БЮДЖЕТНОЕ ОБРАЗОВАТЕЛЬНОЕ УЧРЕЖДЕНИЕ  
ВЫСШЕГО ПРОФЕССИОНАЛЬНОГО ОБРАЗОВАНИЯ

«Московский государственный технический  
университет имени Н.Э. Баумана»  
(МГТУ им. Н.Э. Баумана)

ФАКУЛЬТЕТ ФУНДАМЕНТАЛЬНЫЕ НАУКИ  
КАФЕДРА  
«ВЫЧИСЛИТЕЛЬНАЯ МАТЕМАТИКА И МАТЕМАТИЧЕСКАЯ ФИЗИКА»

Направление: **Математика и компьютерные науки**

Дисциплина: Основы сеточных методов

Домашняя работа №2-1  
Группа ФН11-62Б

Вариант 6

Студент: Зеликова В.И.

Преподаватель: Кутыркин В.А.

Оценка:

Москва 2023

## Задание

Используя метод Рунге-Кутта порядка  $m = 4$ , четырёхшаговый метод Адамса-Башфорта и метод прогноза-коррекции (с четвёртым порядком точности) найти численные решения задачи Коши (шаг сетки  $h = 0.05$ ):

$$\begin{cases} \frac{dx}{dt} = \frac{2N+3}{N+2} (n-58) \sin\left(\frac{3N+3}{(2N+n-58) \cdot t} x\right), & t \in [0.5; 2.5]; \\ x(0.5) = \frac{N}{2}. \end{cases}$$

Графически проиллюстрировать сравнение приближённых решений. Используя практическое правило Рунге, оценить погрешность приближённого решения, используя метод Рунге-Кутта порядка  $m = 4$ .

Входные данные:

Группа, вариант <u>N</u> := 6   n := 62		Границы интервала: a := 0.5   b := 2.5	
Правая часть уравнения: $f(t,x) := \frac{2 \cdot N + 3}{N + 2} \cdot (n - 58) \cdot \sin \left[ \frac{3 \cdot N + 3}{(2 \cdot N + n - 58) \cdot t} \cdot x \right]$ $f(t,x) \rightarrow \frac{15 \cdot \sin \left( \frac{21 \cdot x}{16 \cdot t} \right)}{2}$			
Граничное условие: $c_0 := \frac{N}{2}$	Шаг сетки: h := 0.05		Порядок точности: <u>m</u> := 4

## Решение

### 0. Введение сеточных аналогов

Посчитаем количество узлов:

$$k := \frac{b - a}{h} = 40$$

Введём равномерную сетку  $A = \langle a = \tau_0, \tau_1, \dots, \tau_k = b \rangle$  шага  $h = 0.05$ :

$$\tau_0 := a$$

$$i := 1..k$$

$$\tau_i := \tau_{i-1} + h$$

Для приближённого А-сеточного решения задачи используем обозначения:

$$\begin{aligned} {}^>u &= [u_0, u_1, \dots, u_k] \in {}^>\mathbb{R}^{|A|}(A), \\ f_0 &= f(\tau_0, u_0), \quad f_1 = f(\tau_1, u_1), \quad \dots, \quad f_k = f(\tau_k, u_k). \end{aligned}$$

## 1. Численное решение методом Рунге-Кутты

Метод Рунге-Кутты  $m$ -ого порядка определяется так называемой матрицей Бутчера  $\mathbf{B} \in L(\mathbb{R}, m)$  вида:

$$\mathbf{B} = \begin{pmatrix} \gamma_1 & \gamma_2 & \gamma_3 & \gamma_4 & \dots & \dots & \gamma_m \\ \alpha_2 & \beta_2^1 & 0 & \dots & \dots & \dots & 0 \\ \alpha_3 & \beta_3^1 & \beta_3^2 & 0 & \dots & \dots & 0 \\ \dots & \dots & \dots & \dots & \dots & \dots & \dots \\ \alpha_{m-1} & \beta_{m-1}^1 & \beta_{m-1}^2 & \dots & \dots & \beta_{m-1}^{m-2} & 0 \\ \alpha_m & \beta_m^1 & \beta_m^2 & \dots & \dots & \beta_m^{m-2} & \beta_m^{m-1} \end{pmatrix},$$

где ковектор  ${}^<\gamma = \langle \gamma_1, \dots, \gamma_m \rangle \in {}^<\mathbb{R}^m$  удовлетворяет условию:

$$\gamma_1 + \dots + \gamma_m = 1.$$

Компоненты матрицы Бутчера при малых  $h$  определяют гладкое отображение  ${}^>\omega = \langle \omega_1, \dots, \omega_m \rangle \in C([a, b] \times \mathbb{R} \times \mathbb{R}_+, {}^>\mathbb{R}^m)$ , которое имеет вид:

$$\begin{cases} \omega_1(\tau, u, h) = f(\tau, u); \\ \omega_2(\tau, u, h) = f(\tau + h\alpha_2, u + h\beta_2^1\omega_1); \\ \omega_3(\tau, u, h) = f(\tau + h\alpha_3, u + h(\beta_3^1\omega_1 + \beta_3^2\omega_2)); \\ \dots \\ \omega_m(\tau, u, h) = f\left(\tau + h\alpha_m, u + h \sum_{i=1}^{m-1} \beta_m^i \omega_i\right). \end{cases}$$

Матрица Бутчера подбирается таким образом, чтобы для  $\tau \in [a; b]$  и решения  $u^*$  задачи выполнялась рабочая формула метода Рунге-Кутты  $m$ -го порядка вида:

$$u^*(\tau + h) = u^*(\tau) + h \cdot {}^<\gamma \cdot {}^>\omega(\tau, u^*(\tau), h) + O(h^{m+1}), \quad \text{при } h \rightarrow 0.$$

Для  $m = 4$ :

$$\mathbf{B} = \begin{pmatrix} 1/6 & 1/3 & 1/3 & 1/6 \\ 1/2 & 1/2 & 0 & 0 \\ 1/2 & 0 & 1/2 & 0 \\ 1 & 0 & 0 & 1 \end{pmatrix}$$

$$\begin{cases} \omega_1(\tau, u, h) = f(\tau, u); \\ \omega_2(\tau, u, h) = f\left(\tau + \frac{1}{2}h, u + \frac{1}{2}h\omega_1\right); \\ \omega_3(\tau, u, h) = f\left(\tau + \frac{1}{2}h, u + \frac{1}{2}h\omega_2\right); \\ \omega_4(\tau, u, h) = f(\tau + h, u + h\omega_3); \end{cases}$$

$$u^*(\tau + h) = u^*(\tau) + \frac{h}{6}(\omega_1 + 2\omega_2 + 2\omega_3 + \omega_4)$$

Вычисление приближенного сеточного решения:

```

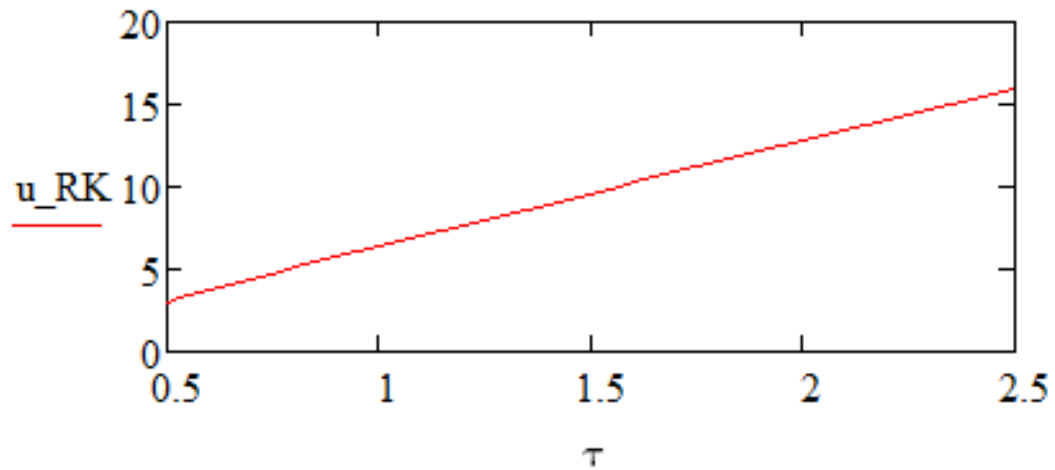
u_RK :=
| u0 ← c0
| for i ∈ 1..k
|   | ω1 ← ω1(τi-1, ui-1)
|   | ω2 ← ω2(τi-1, ui-1)
|   | ω3 ← ω3(τi-1, ui-1)
|   | ω4 ← ω4(τi-1, ui-1)
|   | ui ← ui-1 +  $\frac{h}{6} \cdot (\omega_1 + 2 \cdot \omega_2 + 2 \cdot \omega_3 + \omega_4)$ 
| return u

```

$$u\_RK^T =$$

	0	1	2	3	4	5	6	7	8	9
0	3	3.372	3.735	4.086	4.427	4.763	5.093	5.42	5.746	...

График численного решения:



## 2. Численное решение методом Адамса-Башфорта

Расчетная формула четырёхшагового метода Адамса-Башфорта:

$$u_{n+1} = u_n + \frac{h}{24} (55f_n - 59f_{n-1} + 37f_{n-2} - 9f_{n-3})$$

Для численного решения требуется первые 4 узла, возьмём их из предыдущего решения методом Рунге-Кутты.

```

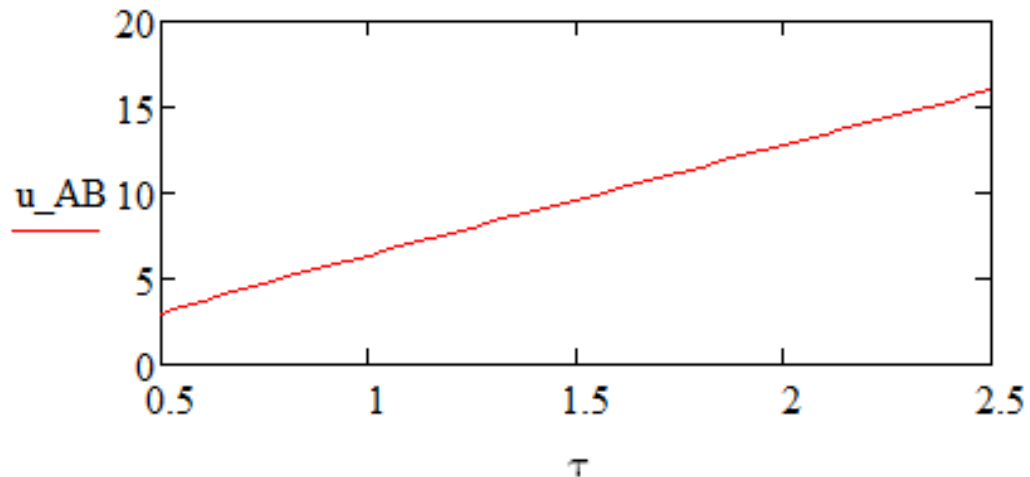
u_AB :=
  for i ∈ 0..m - 1
    u_i ← u_RK_i
  for i ∈ m - 1..k - 1
    f1 ← f(τ_i, u_i)
    f2 ← f(τ_{i-1}, u_{i-1})
    f3 ← f(τ_{i-2}, u_{i-2})
    f4 ← f(τ_{i-3}, u_{i-3})
    u_{i+1} ← u_i + \frac{h}{24} \cdot (55 \cdot f1 - 59 \cdot f2 + 37 \cdot f3 - 9 \cdot f4)
  return u

```

$$u_{AB}^T =$$

	0	1	2	3	4	5	6	7	8	9
0	3	3.372	3.735	4.086	4.429	4.764	5.095	5.421	5.747	...

График численного решения:



### 3. Численное решение методом прогноза и коррекции

Один из широко используемых методов прогноза и коррекции получается при совместном использовании методов Адамса-Башфорта и Адамса-Моултона четвертого порядка точности:

$$\begin{cases} u_{n+1}^{(0)} = u_n + \frac{h}{24} (55f_n - 59f_{n-1} + 37f_{n-2} - 9f_{n-3}); \\ f_{n+1}^{(0)} = f(\tau_{n+1}, u_{n+1}^{(0)}); \end{cases}$$

$$u_{n+1} = u_n + \frac{h}{24} (9f_{n+1}^{(0)} + 19f_n - 5f_{n-1} + f_{n-2})$$

```

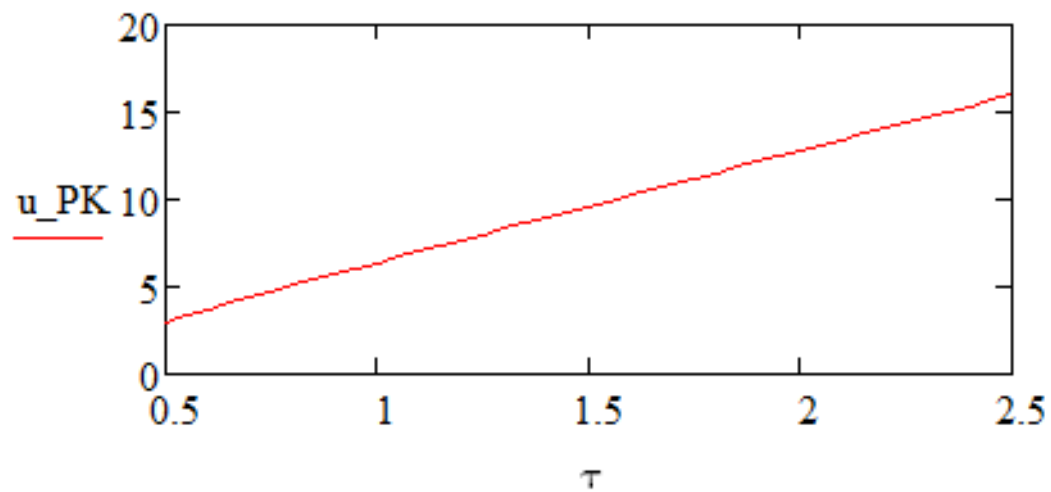
u_PK := | for i ∈ 0..m-1
        |   u_i ← u_RK_i
        |   for i ∈ m-1..k-1
        |     | f1 ← f(τ_i, u_i)
        |     | f2 ← f(τ_{i-1}, u_{i-1})
        |     | f3 ← f(τ_{i-2}, u_{i-2})
        |     | f4 ← f(τ_{i-3}, u_{i-3})
        |     | u0 ← u_i + \frac{h}{24} \cdot (55 \cdot f1 - 59 \cdot f2 + 37 \cdot f3 - 9 \cdot f4)
        |     | f0 ← f(τ_{i+1}, u0)
        |     | u_{i+1} ← u_i + \frac{h}{24} \cdot (9 \cdot f0 + 19 \cdot f1 - 5 \cdot f2 + f3)
        |   return u

```

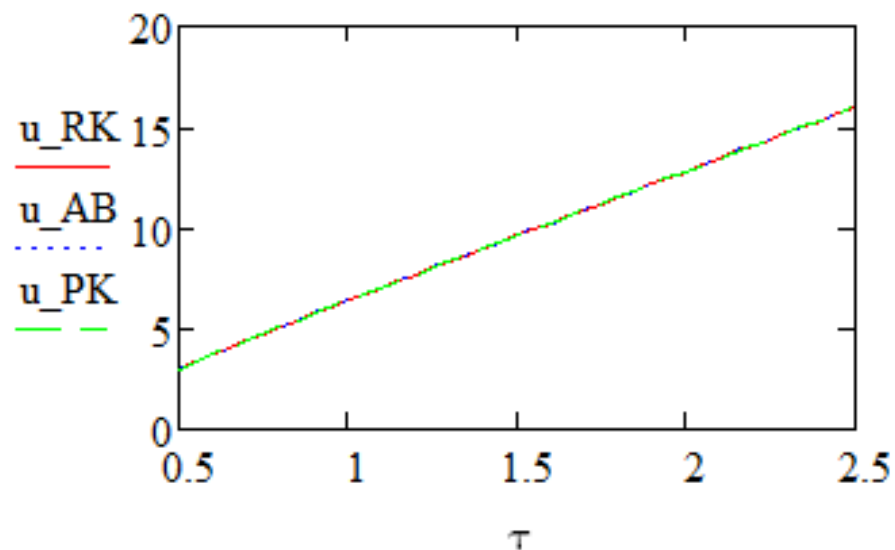
$$u_{PK}^T =$$

	0	1	2	3	4	5	6	7	8	9
0	3	3.372	3.735	4.086	4.427	4.762	5.093	5.42	5.746	...

График численного решения:



Совместим графики трех решений:



Графики практически накладываются друг на друга.

#### 4. Оценка погрешности по правилу Рунге

Получим второе сеточное решение на равномерной сетке шага  $\frac{h}{2} = \frac{b-a}{2k}$  методом Рунге-Кутты и выпишем значения этого решения только в узлах начальной сетки.

$$u_{RK2}^T =$$

	0	1	2	3	4	5	6	7	8	9
0	3	3.37	3.73	4.08	4.421	4.757	5.088	5.416	5.742	...

Тогда, в соответствии с правилом Рунге, практическая оценка погрешности приближённого решения имеет вид:

$$\varepsilon = \frac{\|u - u^*\|}{2^m - 1},$$

Где  $m$  – порядок аппроксимации схемой уравнения. В данной задаче  $m = 4$ .

$$\delta_i := |u_{RK1} - u_{RK2}|$$

$$\varepsilon := \frac{\max(\delta)}{2^m - 1} = 4.021 \times 10^{-4}$$

**Вывод:** в результате данной работы было найдено приближенное решение задачи Коши, полученное тремя разными методами: методом Рунге-Кутты, Адамса-Башфорта, прогноза и коррекции. Все решения очень близки. Оценка, полученная из практического правила Рунге составила 0.0004021, что говорит о довольно точном решении и правильной работе методов.